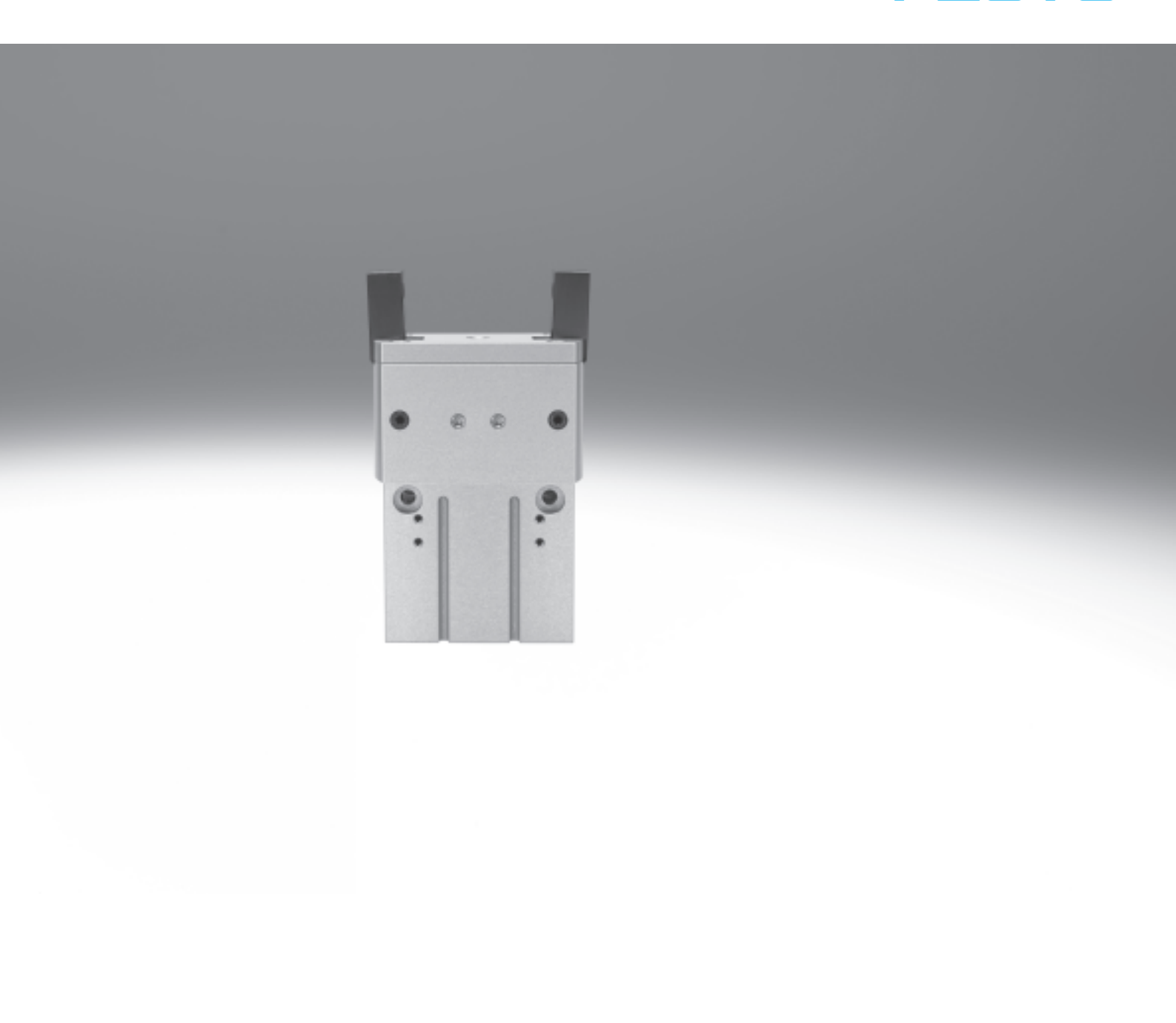
FESTO



Características

FESTO

Informaciones resumidas

- Cinemática robusta y precisa, para soportar momentos muy grandes.
 Gran duración.
- La guía de deslizamiento de las mordazas, casi sin holguras, está rectificada.
- Utilización sistemática de materiales más ligeros y, a la vez, más resistentes.
- La transformación del movimiento vertical del émbolo en movimiento horizontal de los dedos se consigue mediante una guía de corredera en el vástago.
 - Esta guía consigue que los dedos se muevan de modo sincronizado.
- El ángulo de abertura de los dedos puede regularse hasta máximo 90° en cada uno. De este modo, los ciclos son más cortos, y se evita que los dedos choquen entre ellos por abrirse demasiado.
- Utilización indistinta de pinzas de simple y de doble efecto.
- Con muelle para apoyar o asegurar las fuerzas de sujeción.
- Apropiada para la utilización como pinza de sujeción interior o exterior.
- Múltiples posibilidades de adaptación a los actuadores.

Limitación variable de la carrera Ejecución como pinza radial



La pinza se entrega con un tope fijo, que permite un ángulo de abertura de 180°.

Ejecución como pinza angular con recorrido ajustable



Recurriendo al elemento de reducción de la carrera HGRT-HR (accesorio), es posible reducir el ángulo mediante un tornillo de regulación. De esta manera, es sencillo transformar la pinza radial en una pinza angular.

Conexiones adicionales Para aire de barrido



Estando conectado el aire de barrido (máx. 0,5 bar), el aire comprimido fluye a lo largo de las mordazas. De este modo se evita que puedan entrar partículas extrañas (por ejemplo, polvo) en la zona de la guía de las mordazas.

Para lubricación



Las conexiones pueden utilizarse para la lubricación posterior de la guía.

Detección de posiciones/control de la fuerza

Con transmisor de posiciones SMAT-8M



Posibilidad de detectar posiciones de manera continua

• Salida analógica 0 ... 10 V



Con regulador de presión proporcional VPPM

Posibilidad de regular la fuerza de sujeción de manera continua

- Entrada del valor nominal
 - 0 ... 10 V
 - 4 ... 20 mA

Con detectores de proximidad SMT-8G/-G10



Detección de varias posiciones:

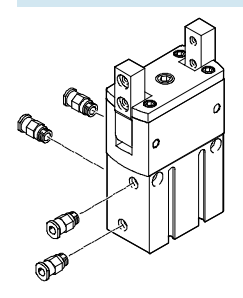
- Abierto
- Cerrado
- Pieza está sujeta

Pinzas radiales HGRT, robustas Características

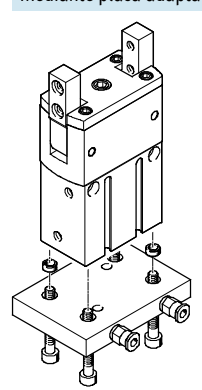


Conexiones de aire a presión

Directa



Mediante placa adaptadora



Importante

Software de diseño Selección de pinzas

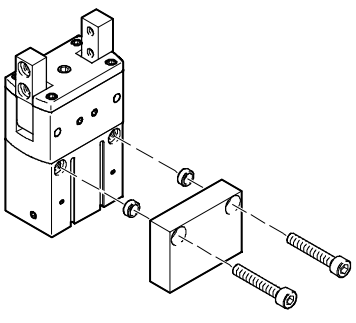
→ www.festo.com

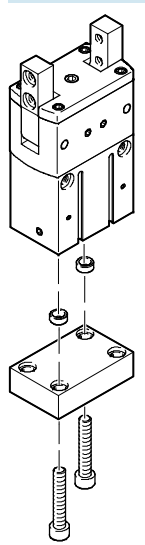
Posibilidades de montaje

Montaje directo

Cara frontal

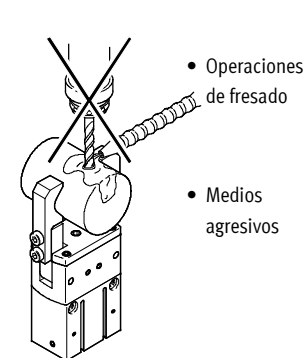






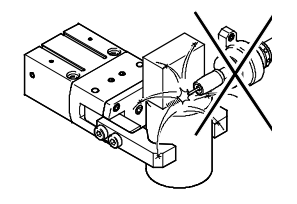
Importante

Las pinzas radiales no son apropiadas para las aplicaciones que se explican a continuación:





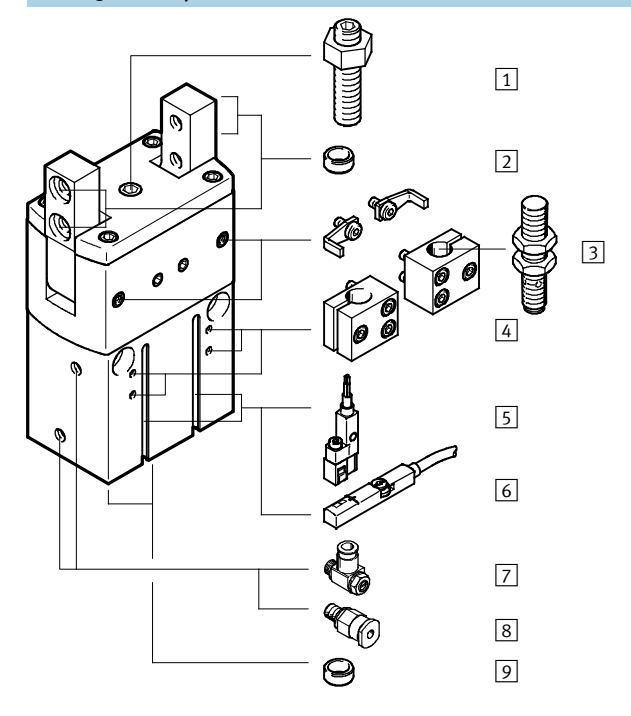
- Polvo de rectificado
- Salpicaduras de soldadura



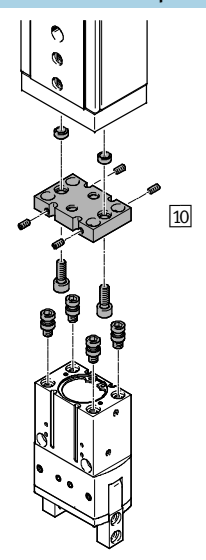
Pinzas radiales HGRT, robustas Cuadro general de periféricos

FESTO

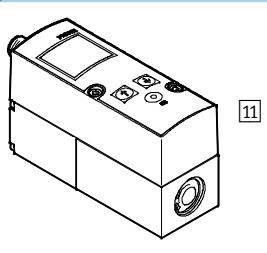
Cuadro general de periféricos



Producto del sistema de la técnica de manipulación y montaje



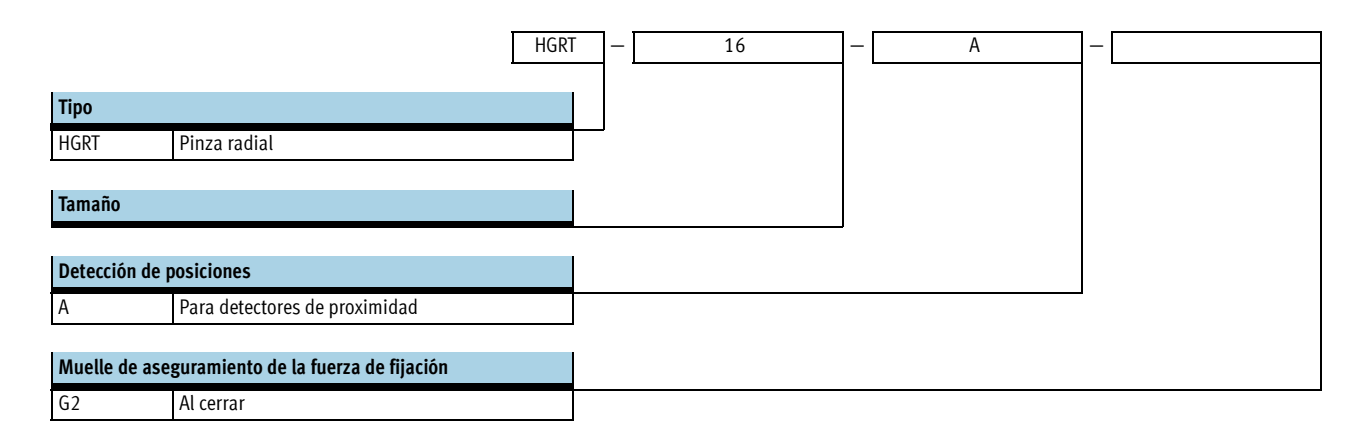
Regulador de presión proporcional VPPM



| ces | sorios | | |
|-----|-----------------------------------|--|-------------------|
| | Tipo | Descripción resumida | → Página/Internet |
| 1 | Módulo de reducción de la carrera | Para ajustar el ángulo de la pinza | 20 |
| | HGRT-HR | | |
| 2 | Casquillo para centrar | Para centrar los dedos tras montar la pinza | 21 |
| | ZBH | • 4 unidades incluidas en el suministro de la pinza | |
| 3 | Detectores de posición | Para consultar la posición del émbolo | 22 |
| | SIEN | | |
| 4 | Soporte para detectores | Para el montaje de detectores de posición SIEN en la pinza | 20 |
| | DASI | • Las levas de conmutación están incluidas en el suministro del elemento de fijación | |
| | | para detectores | |
| 5 | Detectores de posición | Para consultar la posición del émbolo | 21 |
| | SMT-8G/-10G | • El detector de posición no sobresale en la parte inferior del cuerpo | |
| 5 | Transmisor de posiciones | • Detecta de manera continua la posición del émbolo. Dispone de una salida analógica | 21 |
| | SMAT-8M | con una señal de salida proporcional a la posición del émbolo. | |
| | | • Para tamaños 40 | |
| 7 | Válvula de estrangulación | Para regular la velocidad | grla |
| | y antirretorno | | |
| | GRLA | | |
| 3 | Racor rápido roscado | Para la conexión de tubos flexibles con tolerancias en su diámetro exterior | quick star |
| | QS | | |
| 9 | Casquillo para centrar | Para centrar la pinza al montarla sobre un actuador o una placa | 21 |
| | ZBH | | |
| 0 | Conjunto adaptador | Placa de unión entre el actuador y la pinza | 17 |
| | DHAA | | |
| 1 | Regulador de presión proporcional | Para regular la fuerza de sujeción de manera continua | vppm |
| | VPPM | | |

Pinzas radiales HGRT, robustas Código del producto

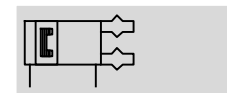
FESTO



FESTO

Hoja de datos

Función Doble efecto HGRT-...



- **D** - Tamaño 12 ... 50 mm

 Ángulo de apertura 180° Función – Variantes De simple efecto o con aseguramiento de la fuerza de sujeción



Juegos de piezas de desgaste:





| Datos técnicos generales | | | | | | | | | | | |
|---|-------------------|---|-------------------|-----|-----|-------|-------|--|--|--|--|
| Tamaño | | 16 | 20 | 25 | 32 | 40 | 50 | | | | |
| Construcción | | Movimiento gui | Movimiento guiado | | | | | | | | |
| Funcionamiento | | Doble efecto | | | | | | | | | |
| Funcionamiento de la pinza | | Radial | | | | | | | | | |
| Cantidad de dedos | | 2 | | | | | | | | | |
| Ángulo máximo de apertura | [°] | 180 | | | | | | | | | |
| Conexión neumática | | M3 | M5 | M5 | M5 | G1/8 | G1/8 | | | | |
| Precisión de repetición ¹⁾ | [mm] | ≤ 0,02 | - | • | | • | | | | | |
| Máxima precisión de sustitución | [mm] | ≤ 0,2 | | | | | | | | | |
| Holgura máx. de los dedos ²⁾ | [mm] | ≤ 0,1 | | | | | | | | | |
| Holgura angular máx. de las mordazas | ³⁾ [°] | ≤ 0,1 | | | | | | | | | |
| Frecuencia máxima de trabajo | [Hz] | ≤ 3 | | | | ≤ 2 | | | | | |
| Simetría de las mordazas | [mm] | ≤ Ø 0,2 | | | | | | | | | |
| Detección de posiciones | | Para detectores de proximidad, transmisor de posiciones | | | | | | | | | |
| | | Para detectores inductivos | | | | | | | | | |
| Tipo de fijación | | Con rosca interior y casquillo para centrar | | | | | | | | | |
| Posición de montaje | | Indistinta | Indistinta | | | | | | | | |
| Peso del producto – | [g] | 130 | 290 | 540 | 840 | 1 580 | 3 100 | | | | |
| G2 | [g] | 150 | 320 | 610 | 940 | 1 770 | 3 500 | | | | |

- 1) Margen de la posición final bajo condiciones de funcionamiento constantes y 100 carreras seguidas en dirección del movimiento de los dedos
- 2) Holgura transversal en relación con el sentido del movimiento de las mordazas
- 3) Guiado por rodamiento de bolas, con pretensión

| Condiciones de funcionamiento | Condiciones de funcionamiento y del entorno | | | | | | | | | | |
|------------------------------------|---|-------|--|--|--|--|--|--|--|--|--|
| Presión de funcionamiento | - | [bar] | 38 | | | | | | | | |
| | G2 | [bar] | 48 | | | | | | | | |
| Fluido de trabajo | | | Aire comprimido según ISO 8573-1:2010 [7:4:4] | | | | | | | | |
| Nota sobre el fluido de trabajo/n | nando | | Es posible el funcionamiento con aire comprimido lubricado (lo cual requiere seguir utilizando aire lubricado) | | | | | | | | |
| Temperatura ambiente ¹⁾ | | [°C] | +5 +60 | | | | | | | | |
| Clase de resistencia a la corrosió | ón ²⁾ | | 2 | | | | | | | | |

¹⁾ Tener en cuenta las condiciones de funcionamiento de los detectores

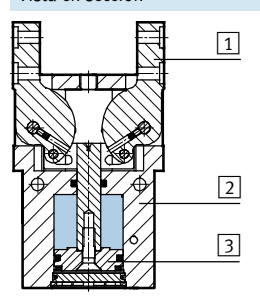
²⁾ Clase de resistencia a la corrosión 2 según norma de Festo 940 070
Válida para piezas expuestas a moderado peligro de corrosión. Piezas exteriores en contacto directo con substancias usuales en entornos industriales, tales como disolventes, detergentes o lubricantes, con superficies principalmente decorativas.

FESTO

Hoja de datos

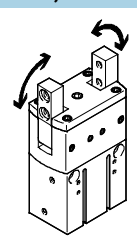
Materiales

Vista en sección



| Pinz | as radiales | |
|------|------------------------------|-------------------------------|
| 1 | Dedos | Acero templado |
| 2 | Cuerpo | Aluminio anodizado deslizante |
| 3 | Émbolo | Aluminio anodizado |
| - | Juntas | Poliuretano, caucho nitrílico |
| - | Características del material | Sin cobre, PTFE ni silicona |
| | | Conformidad con RoHS |

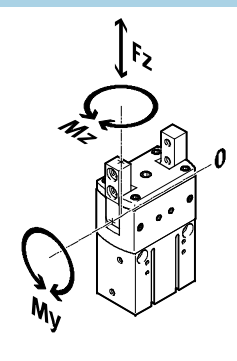
Momento de sujeción total con 6 bar



El momento de sujeción no es constante a lo largo de todo el ángulo de apertura → 12.

| Tamaño | 16 | 20 | 25 | 32 | 40 | 50 | |
|--------|-------|-----|-----|-------|-------|-------|-------|
| Abrir | [Ncm] | 188 | 588 | 1 348 | 2 024 | 3 892 | 8 424 |
| Cerrar | [Ncm] | 158 | 516 | 1 208 | 1 856 | 3 526 | 7 754 |

Valores característicos de la carga estática en las mordazas



Las fuerzas y momentos admisibles se refieren a un dedo. Los valores indicados incluyen la fuerza de palanca, las fuerzas debido al peso de la pieza u ocasionadas por dedos externos y, además, las fuerzas ocasionadas por

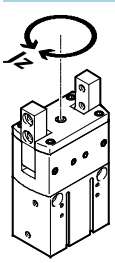
la aceleración durante la ejecución del movimiento. Al efectuar el cálculo de los momentos debe tenerse en cuenta el punto 0 del sistema de coordenadas (guiado de los dedos).

| Tamaño | | 16 | 20 | 25 | 32 | 40 | 50 |
|---|------|-----|-----|-----|------|------|-------|
| Fuerza F _z máxima admisible | [N] | 50 | 100 | 180 | 280 | 400 | 1 200 |
| Momento M _y máximo admisible | [Nm] | 3,9 | 6,2 | 10 | 13,5 | 17,5 | 35 |
| Momento M _z máximo admisible | [Nm] | 0,3 | 0,5 | 1 | 1,3 | 1,6 | 10 |



Hoja de datos

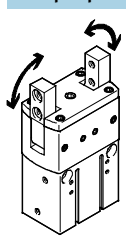
Momentos de inercia de la masa [kgm²x10-4]



Momento de inercia de la masa tomando como referencia el eje central. Sin dedos externos, sin carga.

| Tamaño | amaño | | 20 | 25 | 32 | 40 | 50 |
|--------|-------|-------|------|------|------|-------|-------|
| HGRT | - | 0,191 | 0,74 | 2,1 | 4,62 | 13,87 | 43,39 |
| | G2 | 0,21 | 0,81 | 2,33 | 5,03 | 15,26 | 47,70 |

Tiempos para abrir y cerrar [ms] con 6 bar



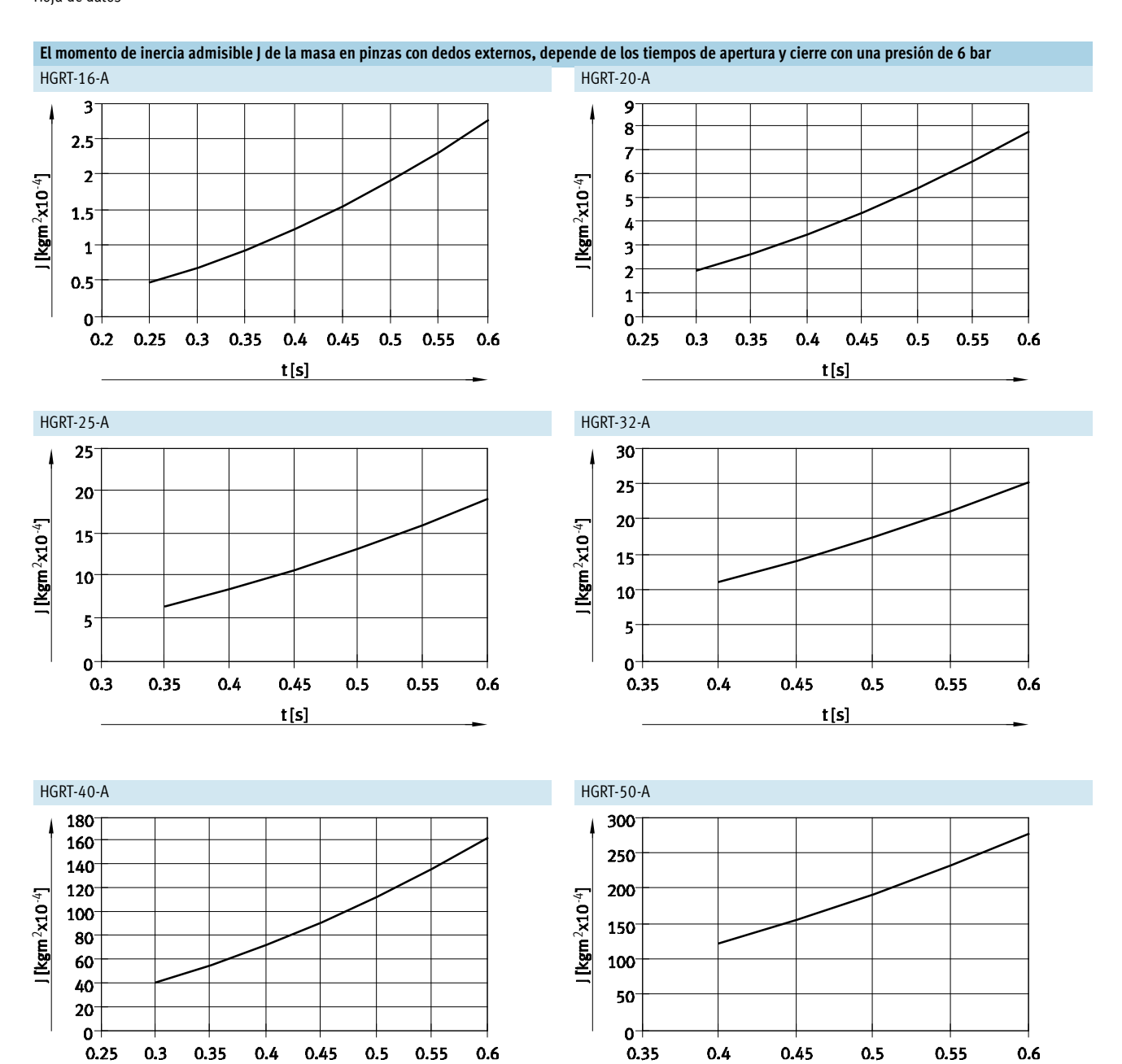
Los tiempos de apertura y de cierre [ms] aquí indicados fueron medidos a temperatura ambiente, con una presión de funcionamiento de 6 bar y con la pinza sin dedos adicionales y montada en posición vertical.

Al aplicar cargas superiores, deberá estrangularse el movimiento de los dedos. En ese caso, deberán ajustarse correspondientemente los tiempos de apertura y de cierre.

| Tamaño | naño | | 16 | 20 | 25 | 32 | 40 | 50 |
|--------------------|------|--------|-----|-----|-----|-----|-----|-----|
| Sin dedos externos | | | | | | | | |
| HGRT | - | Abrir | 246 | 280 | 309 | 359 | 283 | 350 |
| | _ | Cerrar | 293 | 308 | 343 | 403 | 320 | 403 |
| HGRT | G2 | Abrir | 233 | 372 | 443 | 503 | 370 | 490 |
| | G2 | Cerrar | 185 | 295 | 301 | 337 | 270 | 355 |



Hoja de datos



t[s]

t[s]

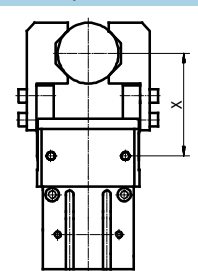
Hoja de datos

Fuerza de sujeción F_H por dedo en función de la presión de funcionamiento y de la palanca x

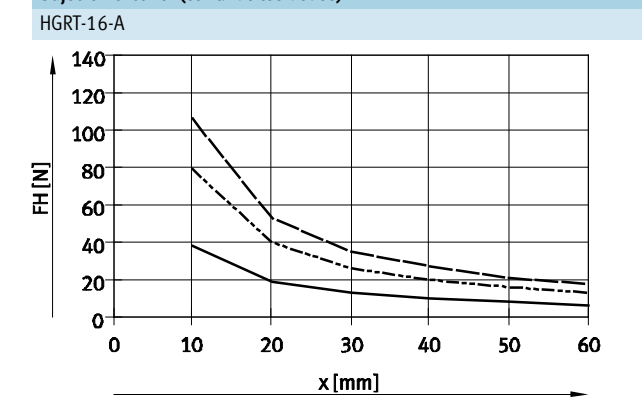
En el diagrama siguiente pueden determinarse las fuerzas de sujeción para pinzas de diversos tamaños en función de la presión de funcionamiento y de la palanca.

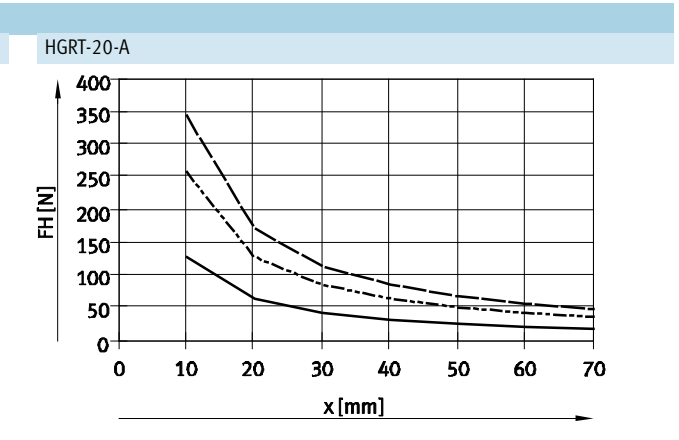
El momento de sujeción no es constante a lo largo de todo el ángulo de apertura

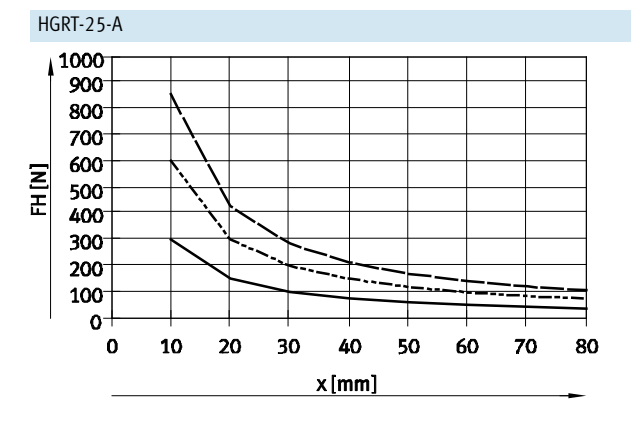
12.

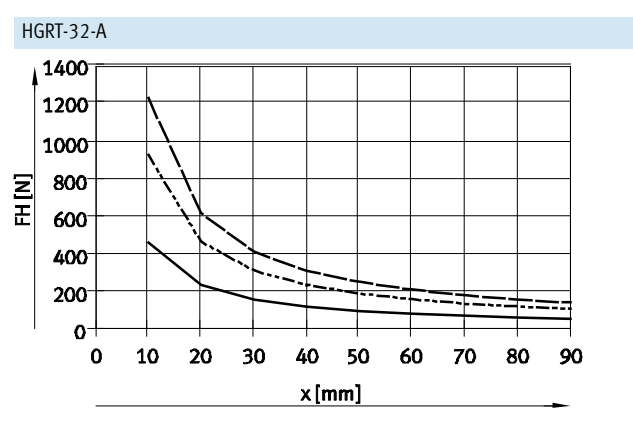


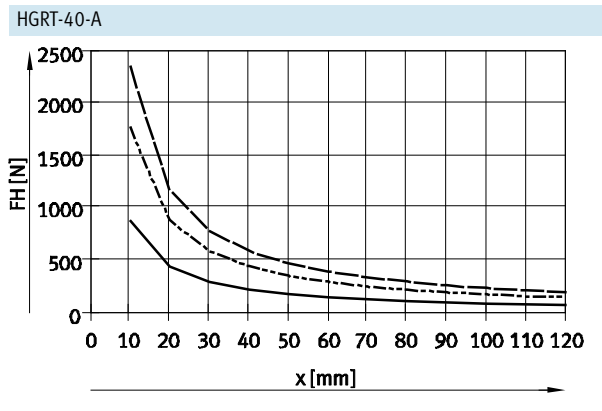
Sujeción exterior (cerrando los dedos)

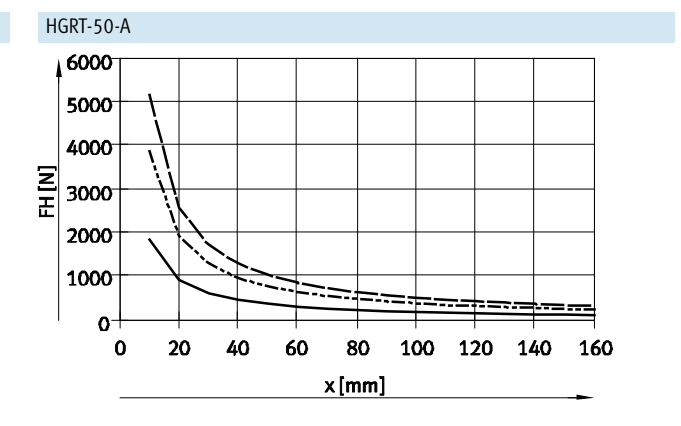












3 bar ---- 6 bar --- 8 bar



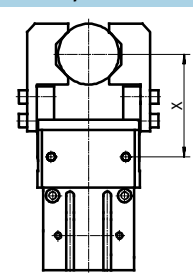
Hoja de datos

Fuerza de sujeción F_H por dedo en función de la presión de funcionamiento y de la palanca x

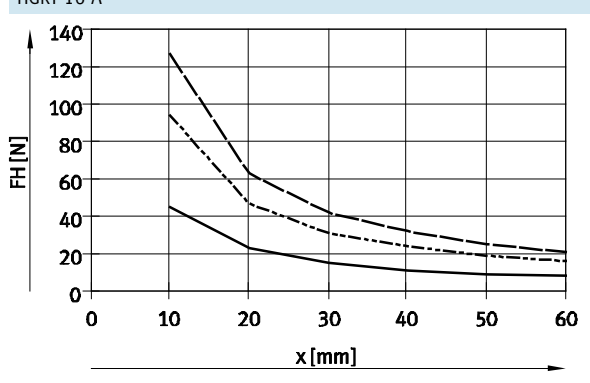
En el diagrama siguiente pueden determinarse las fuerzas de sujeción para pinzas de diversos tamaños en función de la presión de funcionamiento y de la palanca.

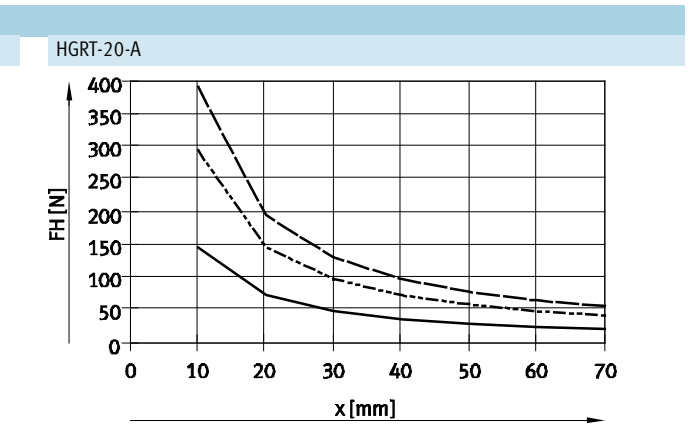
El momento de sujeción no es constante a lo largo de todo el ángulo de apertura

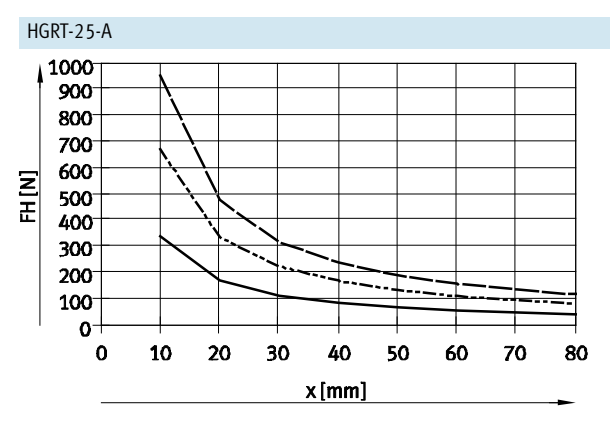
12.

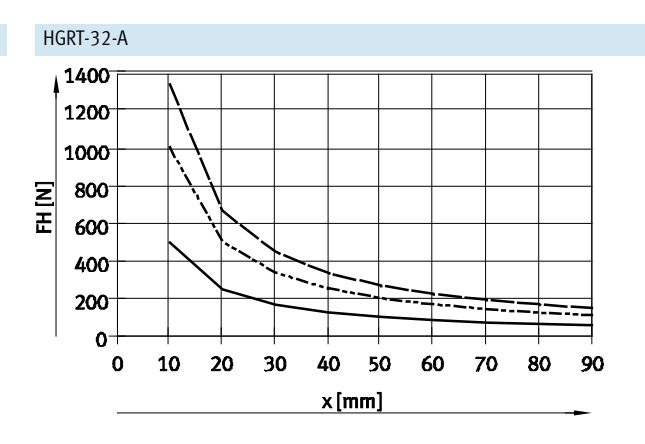


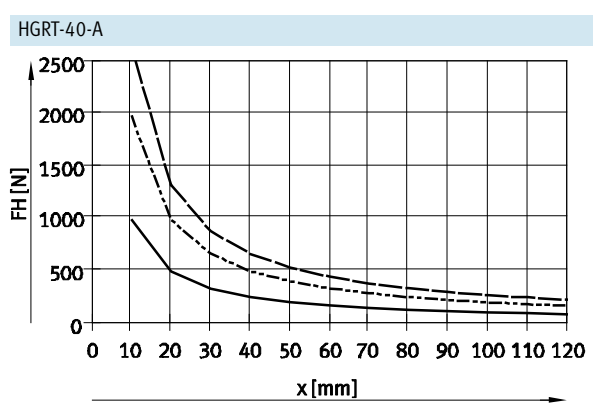
Sujeción interior (abriendo los dedos) HGRT-16-A

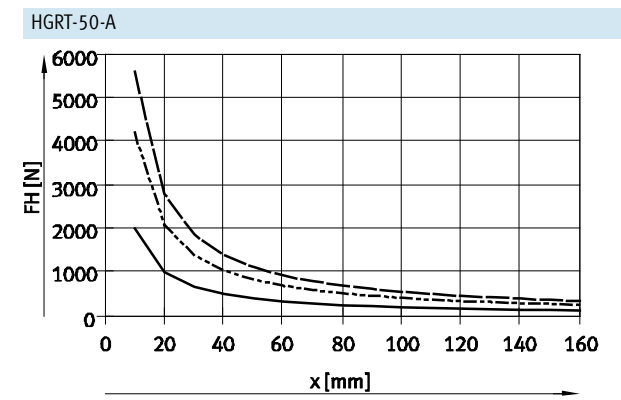












3 bar ----- 6 bar ---- 8 bar

FESTO

Hoja de datos

Fuerza de sujeción F_H por dedo con 6 bar, en función de la palanca x y la excentricidad a y b

Para calcular la palanca x de las pinzas excéntricas, debe aplicarse la siguiente fórmula:

$$x = \sqrt{a^2 + b^2}$$

Con el valor x calculado, en los diagramas (→ 10) se puede leer la fuerza de sujeción F_H.



Ejemplo de cálculo

Valores conocidos: Distancia a = 45 mm

Distancia b = 40 mm

Incógnita:

Fuerza de sujeción con 6 bar con una pinza HGRT-40, utilizada como pinza de sujeción

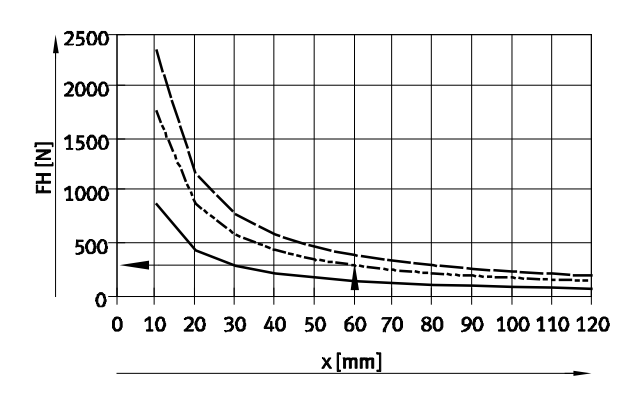
exterior

Forma de proceder: Cálculo de la palanca x

$$x = \sqrt{45^2 + 40^2}$$

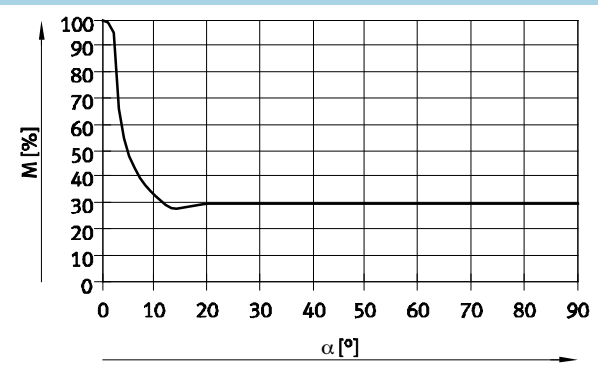
$$x = 60 \text{ mm}$$

Según el diagrama (→ 10), la fuerza de sujeción es de F_H = 300 N.



Momento M en función del ángulo de abertura α

El momento no es constante a lo largo de todo el ángulo debido al principio de funcionamiento de las mordazas. En el diagrama consta el porcentaje disponible en todo momento. Significado de un ángulo de 0°: Mordazas en posición paralela.

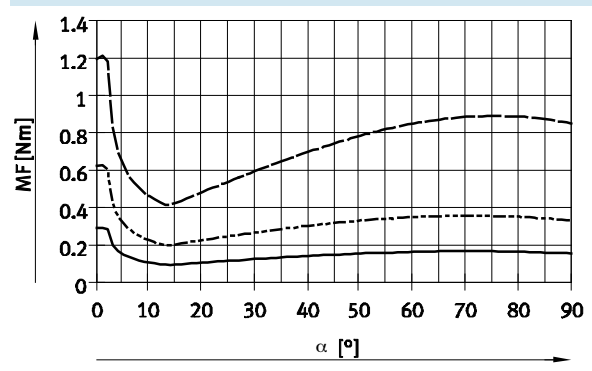


FESTO

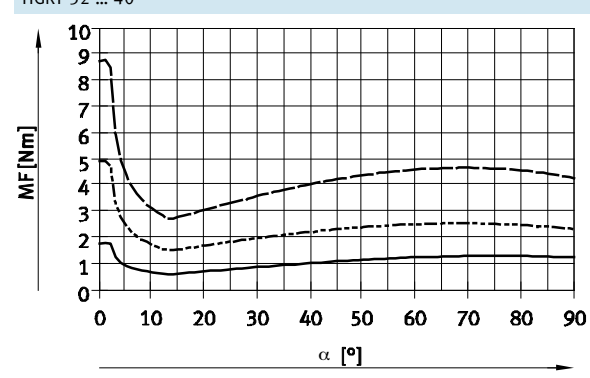
Hoja de datos

Momento de amortiguación $\mathbf{F}_{\!\mathbf{A}}$ en función del ángulo de abertura α

HGRT-16 ... 25



HGRT-32 ... 40



HGRT-16-A-G2
HGRT-20-A-G2
HGRT-25-A-G2

HGRT-32-A-G2
HGRT-40-A-G2
HGRT-50-A-G2

Determinación de las fuerzas de sujeción reales M_{incógn.} para HGRT-...-G2 en función de cada caso específico

Las pinzas radiales con muelle incorporado tipo HGRT-...-G2 (elemento de aseguramiento de la fuerza de sujeción normalmente abierto) pueden utilizarse de las siguientes maneras:

- Pinzas de simple efecto
- Pinzas con amplificación de la fuerza de sujeción
- Pinzas con seguro de la fuerza de fijación

Para calcular las fuerzas de sujeción disponibles M_{incóg.} (por dedo) deberán combinarse los datos correspondientes relacionados con la fuerza de sujeción F_H (\Rightarrow 10/11), evolución del momento M (\Rightarrow 12) y la fuerza del muelle M_F (\Rightarrow 13).

 $M_{inc\acute{o}gn.} = F_H * x * M [\%]$

M_{incógn.} Fuerza de sujeción F_H Fuerza de sujeción

x Palanca

M Evolución del momento

Aplicación

Simple efecto

Apoyo de la fuerza de sujeción

Muelle de aseguramiento de la fuerza de fijación

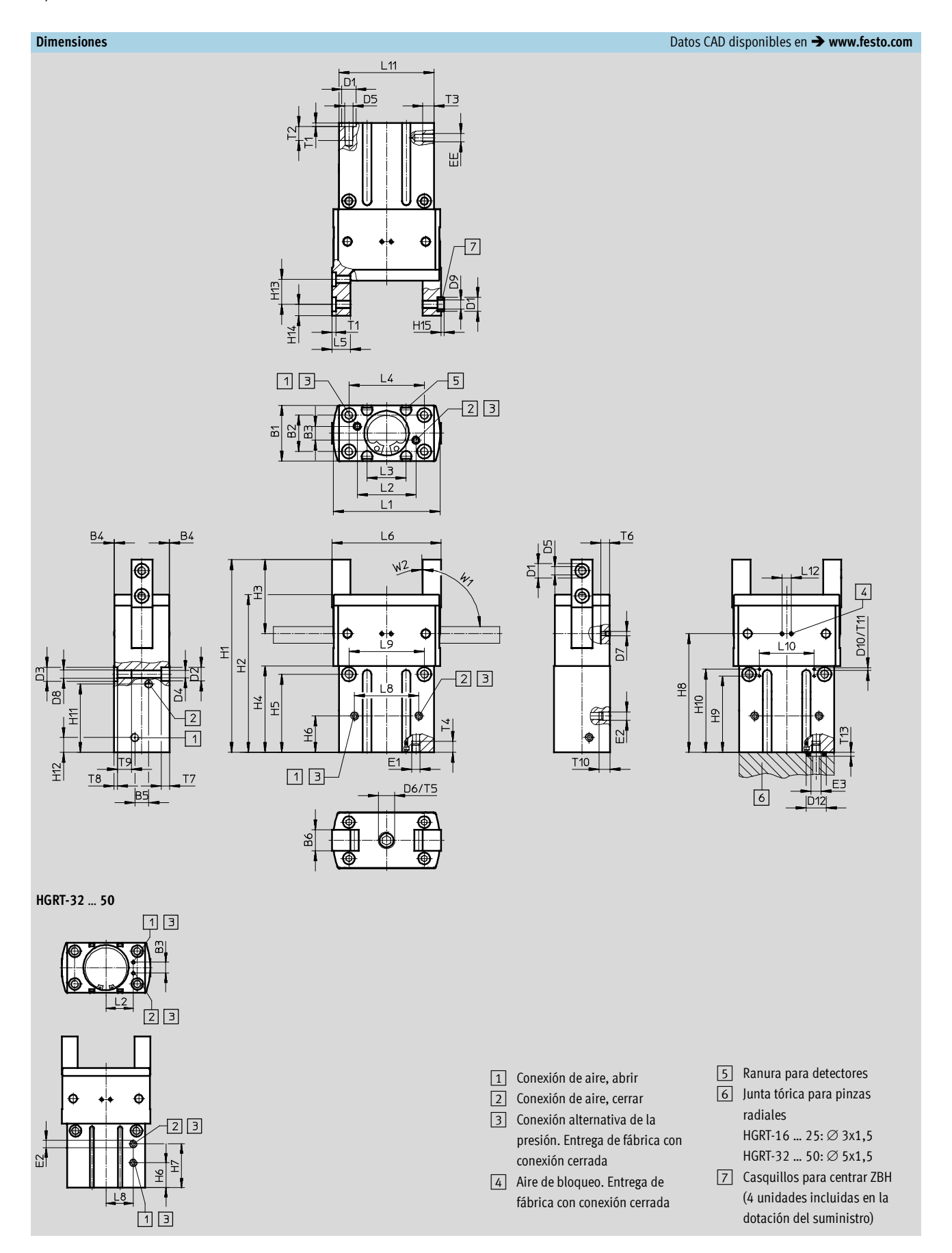
- Sujeción con la fuerza del muelle: $M_{incógn.} = M_F$
- Sujeción con presión: $M_{incógn.} = M_{Gr} M_F$
- Sujeción con presión y la fuerza del muelle:

$$M_{inc\acute{o}gn.} = M_{Gr} + M_{F}$$

• Sujeción con la fuerza del muelle: M_{incógn.} = M_F



Hoja de datos



Pinzas radiales HGRT, robustas Hoja de datos



| Tamaño | B1 | B2 ¹⁾ | В3 | B4 | B5 | В6 | D1 | D2 | D3 | D. | · - |)5 | D6 | D7 | D8 | D9 |
|----------|-------------------|------------------|--------------|------------------|------|-----------------|-------|-------|---------------------|----------|------------------|-----|----------|-----------|---------|-------------------|
| | | | | | | | Ø | Ø | Ø | 2 | 5 | | | | | Ø |
| [mm] | ±0,05 | | ±0,1 | +0,05 | ±0,1 | ±0,05 | Н8 | +0,1 | H8 | | | | | | | |
| 16 | 20 | 13 | 5 | 0,2 | 5 | 7,5 | 5 | 4,9 | 5 | 2, | 6 N | 13 | M6 | - | M3 | 3,2 |
| 20 | 28 | 18 | 6 | 0,2 | 6 | 10 | 7 | 7,4 | 7 | 4, | 2 N | 15 | M6 | M3 | M5 | 5,3 |
| 25 | 35 | 23 | 7 | 0,2 | 7 | 12,5 | 9 | 9,4 | 9 | 5, | | 16 | M8 | M5 | M6 | 6,4 |
| 32 | 40 | 27 | 10 | 0,2 | 10 | 14,5 | 9 | 9,4 | 9 | 5, | 1 N | 16 | M8 | M5 | M6 | 6,4 |
| 40 | 50 | 33 | 11 | 0,2 | 11 | 18 | 12 | 10,4 | 12 | 6, | 8 N | 18 | M8 | M5 | M8 | 10,3 |
| 50 | 64 | 42 | 14 | 0,2 | 14 | 22,5 | 15 | 13,5 | 15 | 8, | 5 M | 10 | M12 | M5 | M10 | 12,4 |
| | | | | | | | | | | | | | | | | |
| Tamaño | D10 | D12 | EE | E1 | E2 | E3 | Н | 1 | | H2 | ŀ | 13 | | H4 | Н | 15 |
| | | | | | | | | -G | | -(| i | | | -G | | -G |
| [mm] | | +0,2 | | | | | ±0,05 | ±0,05 | ±0,0 | 5 ±0, | 05 ±0 |),1 | ±0,1 | ±0,1 | ±0,1 | ±0,1 |
| 16 | - | 6 | M3 | M3 | M3 | M3 | 69 | 77,5 | 56,5 | 6 | 5 20 | 5,5 | 31 | 39,5 | 28 | 36,5 |
| 20 | - | 6 | M5 | M3 | M3 | M3 | 88,5 | 97,5 | 71 | 80 |) 3 | 5,1 | 39 | 48 | 34,5 | 43,5 |
| 25 | M3 | 6 | M5 | M3 | M3 | M3 | 109 | 120 | 88 | 99 | 9 42 | 2,5 | 48,3 | 59,3 | 42,5 | 53,5 |
| 32 | M3 | 8 | M5 | M5 | M5 | M5 | 125 | 137 | 102 | 11 | 4 4 | .9 | 54,7 | 66,7 | 49 | 61 |
| 40 | M3 | 8 | G1/8 | M5 | G1/8 | M5 | 154,6 | 172,6 | 122 | 14 | 0 63 | 3,6 | 65,5 | 83,5 | 58 | 76 |
| 50 | M3 | 8 | G1/8 | M5 | G1/8 | M5 | 193,5 | 215,5 | 153 | 17 | 5 79 | 9,5 | 82,4 | 104,4 | 73 | 95 |
| | | | | • | | | | | | | | | | | | |
| Tamaño | H | 16 | | H7 | | Н8 | | Н9 | | H | 110 | | H1 | 1 | H12 | H13 ¹⁾ |
| | | -G | | -G | | -G | i | | -G | | -G | | | -G | | |
| [mm] | ±0,1 | ±0,1 | ±0,1 | ±0,1 | | | ±C | ,1 : | ±0,1 | ±0,1 | ±0,1 | | ±0,1 | ±0,1 | ±0,1 | |
| 16 | 13 | 13 | - | - | - | - | - | - | - | - | - | | 24,5 | 33 | 5,3 | 9 |
| 20 | 16 | 16 | - | - | 52,5 | 61, | ,5 - | - | - | - | - | | 29 | 38 | 6 | 12 |
| 25 | 19,5 | 19,5 | - | - | 65,5 | 76, | ,5 2 | 8 | 39 | 36 | 47 | | 36 | 47 | 7,6 | 14 |
| 32 | 20 | 20 | 35,5 | 46,5 | 75,5 | 87, | ,5 34 | ,5 | 46,5 | 42,5 | 54,5 | | 42,4 | 54,2 | 8,1 | 16 |
| 40 | 26 | 29 | 45 | 56,5 | 90 | 10 | 8 4 | 7 | 65 | 55 | 73 | | 48 | 64,5 | 9,7 | 20 |
| 50 | 32 | 32 | 56 | 70 | 113 | 13 | 5 7 | 2 | 94 | 80 | 102 | | 62 | 80 | 13,5 | 25 |
| | • | • | • | • | • | • | • | | • | | • | | • | | | |
| Tamaño | H14 ¹⁾ | H15 | L1 | L2 | L3 | L4 ² | 1) L | 5 | L6 | L8 | L9 ¹⁾ | | L10 | L11 | L12 | T1 |
| [mm] | | -0.3 | ±0.05 | | +0.1 | | ±0 | 05 | ±0,5 | ±0.1 | | | ±0.1 | ±0.1 | | +0,1 |
| | | - 7- | -, | 21 | - , | 2- | | | | - , | 27 | | - , | -, | | |
| 16 20 | 5 | 1,2 | 38,3 49,9 | 21±0,1 30±0,1 | | 27 34 | | | 39 50 , 4 | 30 | 27 34 | + | - | 34 44 | - 11 | 1,3 1,6 |
| 25 | 6 | 1,4 | | 30±0,1 | | 42 | | | 50,4 | 39 | 41 | + | 33 | | 11 | |
| | 7 | 1,9 | 61,1 | 39±0,1 22,5+0 | | | | | - , | | 41 | + | 41 | 54 | 11 | 2,1 |
| 32 | | 1,9 | 72,2 | 22,5**0 | | 51 | | | 72,2 | 22,5 | | + | | 64 | | 2,1 |
| 50 | 9 | 2,4 | 90,3 | 35+0,1 | | 63 80 | | · | 90,8 113 | 28 35 | 62 78 | + | 47 59 | 80 100 | 11 | 2,6 3,1 |
| | | | | | | 1 21 | , | | 113 | | | | | | | |

| Tamaño | T. | 2 | T3 | T4 | T5 | T6 | T7 | T8 | T9 | T10 | T11 | T12 | T13 | W1 | W2 |
|--------|------|------------|------|------|----|-------|------|------|------|------|------|------|------|-----|-----|
| [mm] | mín. | -G mín. | mín. | mín. | | | +0,1 | +0,1 | mín. | mín. | mín. | mín. | +0,1 | ±2° | +3° |
| 16 | 5 | 5 | 4 | 4 | 4 | _ | 3,1 | 1,3 | 5 | 4 | _ | - | 1,2 | 90 | 1 |
| 20 | 8,5 | 8 | 5 | 4 | 5 | 4,3 | 4,1 | 1,6 | 8 | 4 | - | 4 | 1,2 | 90 | 1 |
| 25 | 10 | 10 | 5 | 4,5 | 6 | 5,8 | 5,1 | 2,1 | 10 | 4,5 | 5,5 | - | 1,2 | 90 | 1 |
| 32 | 9,5 | 9,5 | 5 | 5 | 7 | 6,3 | 5,2 | 2,1 | 9,5 | 5 | 5,5 | - | 1,2 | 90 | 1 |
| 40 | 14,5 | 14,5 | 8,5 | 5 | 8 | 7,8 | 6,2 | 2,6 | 12,5 | 8,5 | 5,5 | _ | 1,2 | 90 | 1 |
| 50 | 15 | 15 | 8,5 | 5 | 10 | 10,55 | 8,1 | 3,1 | 15 | 8,5 | 5,5 | _ | 1,2 | 90 | 1 |

¹⁾ Tolerancia del taladro para centrar ± 0.02 mm Tolerancia del taladro roscado ± 0.1 mm

Pinzas radiales HGRT, robustas Hoja de datos



| | Tamaño [mm] | Doble efecto Sin muelle de compresión N° art. Tipo | De simple efecto o con aseguramiento de la fuerza de sujeción Al cerrar N° art. Tipo |
|---|-------------|--|---|
| ^ | 16 | 563904 HGRT-16-A | 563905 HGRT-16-A-G2 |
| | 20 | 563906 HGRT-20-A | 563907 HGRT-20-A-G2 |
| | 25 | 563908 HGRT-25-A | 563909 HGRT-25-A-G2 |
| | 32 | 563910 HGRT-32-A | 563911 HGRT-32-A-G2 |
| | 40 | 563912 HGRT-40-A | 563913 HGRT-40-A-G2 |
| | 50 | 563914 HGRT-50-A | 563915 HGRT-50-A-G2 |

| Referencias: Piezas de desgas | ste | | |
|-------------------------------|---------|---------|--|
| Tamaño | N° art. | Tipo | |
| [mm] | | | |
| 16 | 1459481 | HGRT-16 | |
| 20 | 1459482 | HGRT-20 | |
| 25 | 1459483 | HGRT-25 | |
| 32 | 1459484 | HGRT-32 | |
| 40 | 1459485 | HGRT-40 | |
| 50 | 1459486 | HGRT-50 | |

Pinzas radiales HGRT

FESTO

Accesorios

Conjunto de adaptación HMSV, HAPG, DHAA Material:

Aleación de aluminio

No contiene cobre (exteriormente) ni

PTFE

Conformidad con RoHS



- Importante

El conjunto incluye la conexión específica para el montaje, así como el material de fijación necesario.

| Combinaciones admisibles | | | de adaptación | | | | AD disponibles en www.festo.co | | |
|--|----------------------|--------|------------------|---------|-------------------|-----------|----------------------------------|--|--|
| Combinación | Accionamiento | Pinzas | | | - | adaptador | • | | |
| | Tamaño | Tamaño | Posibilidades de | montaje | CRC ¹⁾ | N° art. | Tipo | | |
| | | | | | | | | | |
| OGSL/HGRT | DGSL | HGRT | | | DHAA | | | | |
| //.5 | 8,10 | 16 | | | | 1273902 | DHAA-G-G6-8-B11-16 | | |
| | 12, 16 | 16 | | | | 1467524 | DHAA-G-G6-12-B11-16 | | |
| | 12, 16 | 20 | | | 2 | 1278364 | DHAA-G-G6-12-B11-20 | | |
| | 20, 25 | 25 | | | | 1468307 | DHAA-G-G6-20-B11-25 | | |
| | 25 | 32 | • | | | 1280494 | DHAA-G-G6-25-B11-32 | | |
| ** | • | | 1 | | l . | 1 | | | |
| SLT/HGRT | SLT | HGRT | | | DHAA | | | | |
| <u>~~~~~~~~~~~~~~~~~~~~~~~~~~~~~~~~~~~~~</u> | 10 | 16 | • | - | | 1274402 | DHAA-G-G3-10-B11-16 | | |
| | 16 | 20 | • | - | | 1278980 | DHAA-G-G3-16-B11-20 | | |
| | 20 | 25 | • | _ | 2 | 1279954 | DHAA-G-G3-20-B11-25 | | |
| | 25 | 32 | | _ | | 1280734 | DHAA-G-G3-25-B11-32 | | |
| | 25 | 40 | • | _ | | 1281448 | DHAA-G-G3-25-B11-40 | | |
| | | | l l | | <u> </u> | | | | |
| HMP/HGRT | HMP | HGRT | | | DHAA | | | | |
| <u> </u> | _ 16 | 25 | _ | | | 1279797 | DHAA-G-H2-16-B11-25 | | |
| | 20 | 32 | - | | | 1280562 | DHAA-G-H2-20-B11-32 | | |
| | 25 | 32 | _ | | 2 | 1471637 | DHAA-G-H2-25-B11-32 | | |
| | 20 | 40 | _ | | | 1281049 | DHAA-G-H2-20-B11-40 | | |
| | 25 | 40 | _ | | | 1472239 | DHAA-G-H2-25-B11-40 | | |
| | | | | | · | l | | | |
| DRQD/HGRT | DRQD | HGRT | | | DHAA | | | | |
| | 16 | 16 | • | | | 1273999 | DHAA-G-Q5-16-B11-16 | | |
| | 20 | 20 | | | | 1465263 | DHAA-G-Q5-20-B11-20 | | |
| | 25, 32 | 25 | • | | | 1279439 | DHAA-G-Q5-25-B11-25 | | |
| | 25, 32 ²⁾ | 25 | | | 2 | 1468974 | DHAA-G-Q5-25-E-B11-25 | | |
| | 25, 32 | 32 | | | | 1468949 | DHAA-G-Q5-25-B11-32 | | |
| | 25, 32 ²⁾ | 32 | | | | 1468980 | DHAA-G-Q5-25-E-B11-32 | | |
| | 32 | 40 | • | | | 1280996 | DHAA-G-Q5-32-B11-40 | | |
| | | | l | | | | · | | |
| ORRD/HGRT | DRRD | HGRT | | | DHAA | | | | |
| | 16 | 16 | • | • | | 2185606 | DHAA-G-Q11-16-B11-16 | | |
| | 20 | 20 | | | | 2184467 | DHAA-G-Q11-20-B11-20 | | |
| | 25 | 25 | | • | | 1741183 | DHAA-G-Q11-25-B11-25 | | |
| | 25 | 32 | • | • | | 1743177 | DHAA-G-Q11-25-B11-32 | | |
| | 32 | 25 | • | • | 2 | 2184080 | DHAA-G-Q11-32-B11-25 | | |
| | 32 | 32 | • | • | | 2184322 | DHAA-G-Q11-32-B11-32 | | |
| | 1 3 2 | | | _ | | | | | |
| | 32 | 40 | - | | | 2184652 | DHAA-G-Q11-32-B11-40 | | |

¹⁾ Clase de resistencia a la corrosión 2 según norma de Festo 940 070 Válida para piezas expuestas a moderado peligro de corrosión. Piezas exteriores en contacto directo con substancias usuales en entornos industriales, tales como disolventes, detergentes o lubricantes, con superficies principalmente decorativas.

²⁾ En combinación DRQD-...-E444 (paso de eje con brida).

Pinzas radiales HGRT FESTO

Accesorios

Conjunto de adaptación HMSV, HAPG, DHAA Material:

Aleación de aluminio

No contiene cobre (exteriormente) ni

PTFE

Conformidad con RoHS



- Importante

El conjunto incluye la conexión específica para el montaje, así como el material de fijación necesario.

| Combinación | Accionamiento | Pinzas | | | Conjunto | Conjunto adaptador | | | |
|--|---------------|---------------------------------|---|---|-------------------|--------------------|---------------------|--|--|
| | Tamaño | Tamaño Posibilidades de montaje | | | CRC ¹⁾ | N° art. | Tipo | | |
| | | | | | | | | | |
| SP/HGRT | HSP | HGRT | | | HAPG, DI | IAA | | | |
| | 16 | 16 | _ | | | 1274347 | DHAA-G-H4-16-B11-16 | | |
| <u> </u> | | | _ | _ | 2 | 540882 | HAPG-71-B | | |
| | 25 | 16 | | | | 1274347 | DHAA-G-H4-16-B11-16 | | |
| | | | - | _ | | 540883 | HAPG-72-B | | |
| SW/HGRT | HSW | HGRT | | | HAPG, DI | | DUAA C U4 14 D11 14 | | |
| | • | | | | | | | | |
| ISW/HGRT | | | | ı | HAPG, DI | | | | |
| | 12, 16 | 16 | • | _ | 2 | 1274347 | DHAA-G-H4-16-B11-16 | | |
| | | | | | | 540882 | HAPG-71-B | | |
| | | | | | | | | | |
| GSL/HGRT | EGSL | HGRT | | | DHAA | | | | |
| K.o.z. | 45, 55 | 20 | • | • | | 1278364 | DHAA-G-G6-12-B11-20 | | |
| | 45, 55 | 25 | | | | 1279418 | DHAA-G-E8-45-B11-25 | | |
| | 75 | 25 | | | 2 | 1468307 | DHAA-G-G6-20-B11-25 | | |
| A STATE OF THE STA | 75 | 32 | | | | 1280494 | DHAA-G-G6-25-B11-32 | | |
| | | | | | | | | | |

¹⁾ Clase de resistencia a la corrosión 2 según norma de Festo 940 070 Válida para piezas expuestas a moderado peligro de corrosión. Piezas exteriores en contacto directo con substancias usuales en entornos industriales, tales como disolventes, detergentes o lubricantes,

Pinzas radiales HGRT



Accesorios

Conjunto de adaptación HMSV, HAPG, DHAA Material:

Aleación de aluminio

No contiene cobre (exteriormente) ni

PTFE

Conformidad con RoHS



El conjunto incluye la conexión es-

pecífica para el montaje, así como el material de fijación necesario.

| Combinaciones admisibles de a | ictuador y pinza, (| con conjunto de a | idaptación | | | Datos CAD disponibles en → www.festo.com | | | |
|-------------------------------|---------------------|-------------------|------------------|---------|-------------------|--|---------------------|--|--|
| Combinación | Accionamiento | Pinzas | | | Conjunto | adaptador | | | |
| | Tamaño | Tamaño | Posibilidades de | montaje | CRC ¹⁾ | N° art. | Tipo | | |
| | | | | | | | | | |
| ERMB/HGRT | ERMB | HGRT | | | DHAA | | | | |
| | 20 | 20 | • | | | 1465263 | DHAA-G-Q5-20-B11-20 | | |
| | 25, 32 | 25 | | | 2 | 1279439 | DHAA-G-Q5-25-B11-25 | | |
| | 25, 32 | 32 | | | | 1468949 | DHAA-G-Q5-25-B11-32 | | |
| | | | 1 | | • | 1 | | | |

¹⁾ Clase de resistencia a la corrosión 2 según norma de Festo 940 070 Válida para piezas expuestas a moderado peligro de corrosión. Piezas exteriores en contacto directo con substancias usuales en entornos industriales, tales como disolventes, detergentes o lubricantes, con superficies principalmente decorativas.

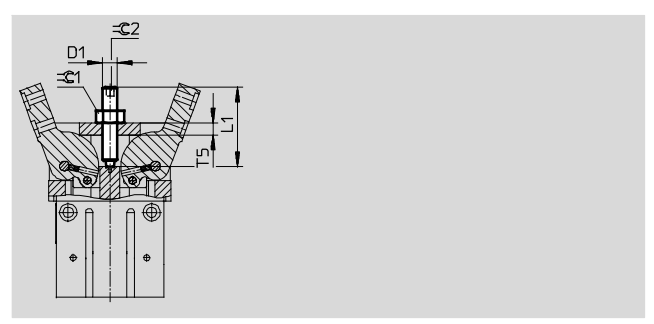
Accesorios

Reducción de la carrera HGRT-HR

Material: Tornillo: Acero

Contratuerca: Acero cementado





| Dimensiones y re | imensiones y referencias | | | | | | | | | |
|---------------------|--------------------------|----|----|-----|-------------|---|------|---------|------------|--|
| Para tamaño [mm] | D1 | L1 | T5 | =©1 | = ©2 | Margen de ajuste en las posiciones finales [mm] | Peso | N° art. | Tipo | |
| | | | | | | - | [g] | | | |
| 16 | M6 | 26 | 4 | 10 | 3 | 20 | 7 | 564296 | HGRT-HR-16 | |
| 20 | M6 | 31 | 5 | 10 | 3 | 25 | 9 | 564297 | HGRT-HR-20 | |
| 25 | M8 | 36 | 6 | 13 | 4 | 30 | 18 | 564298 | HGRT-HR-25 | |
| 32 | M8 | 41 | 7 | 13 | 4 | 35 | 20 | 564299 | HGRT-HR-32 | |
| 40 | M8 | 51 | 8 | 13 | 4 | 45 | 24 | 564300 | HGRT-HR-40 | |
| 50 | M12 | 61 | 10 | 19 | 6 | 50 | 66 | 564301 | HGRT-HR-50 | |

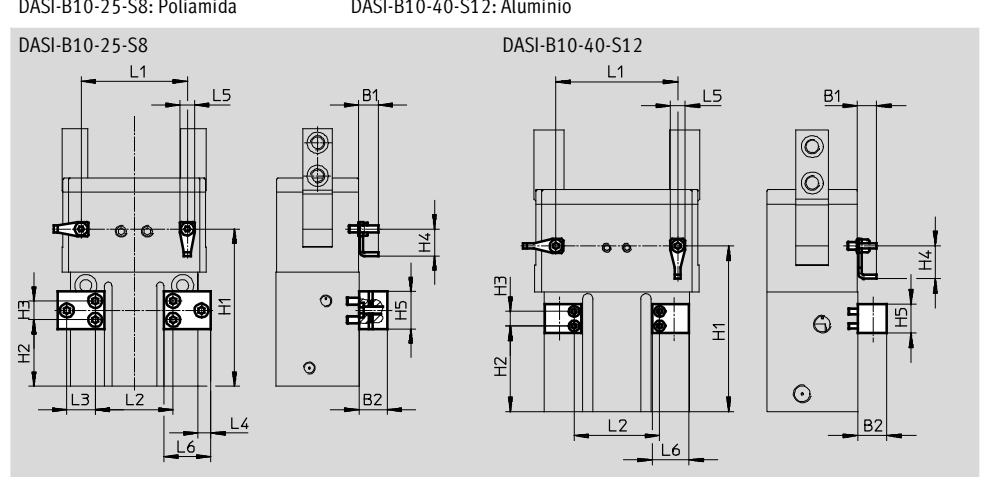
Soporte para detectores DASI

Material:

DASI-B10-25-S8: Poliamida

DASI-B10-40-S12: Aluminio





| Dimensiones y reference | cias | | | |
|-------------------------|-------|------|-------|----|
| Para tipo | H1 | H2 | L1 | L2 |
| | ±0,02 | ±0,1 | ±0,01 | |
| HGRT-25-A | 66,5 | 28 | 45 | 33 |
| HGRT-25-A-G2 | 77,5 | 39 | 45 | 33 |
| HGRT-32-A | 76 | 34,5 | 53 | 64 |
| HGRT-32-A-G2 | 88 | 46,5 | 53 | 64 |
| HGRT-40-A | 91 | 47 | 67 | 47 |
| HGRT-40-A-G2 | 109 | 65 | 67 | 47 |
| HGRT-50-A | 114 | 72 | 84 | 59 |
| HGRT-50-A-G2 | 136 | 94 | 84 | 59 |

| Para tamaño | B1 | B2 | Н3 | H4 | H5 | L3 | L4 | L5 | L6 | | N° art. | Тіро |
|-------------|------|----|------|------|----|------|-----|----|------|-----|---------|-----------------|
| [mm] | | | ±0,1 | | | ±0,1 | | | ±0,2 | [g] | | |
| 25, 32 | 8,45 | 12 | 8 | 11,5 | 16 | 12 | 5,5 | 6 | 20 | 39 | 564311 | DASI-B10-25-S8 |
| 40,50 | 10,5 | 16 | 8 | 18 | 16 | - | - | 8 | 20 | 18 | 564312 | DASI-B10-40-S12 |

Pinzas radiales HGRT



Accesorios

| Referencias: | Casquillos para centrar | | Hojas de datos → Internet: zbh | | | | | |
|--------------|-------------------------|------------------|--------------------------------|------------------|--|--|--|--|
| | Para tamaño | N° art. | Tipo | PE ¹⁾ | | | | |
| | [mm] | | | | | | | |
| O | 16 | 189652 | ZBH-5 | 10 | | | | |
| | 20 | 186717 | ZBH-7 ZBH-9 | _ | | | | |
| | 25, 32 | 150927 189653 | ZBH-12 | _ | | | | |
| | 50 | 191409 | ZBH-15 | | | | | |

¹⁾ Cantidad por unidad de embalaje

| Detector de po | Detector de posición para tamaños 16 32 | | | | | | | | | |
|----------------|---|---|-----------|--------------|---------|---------------------------|--|--|--|--|
| Referencias: D | leferencias: Detector de posición para ranura en C, magnetorresistivo Hojas de datos → Internet: sm | | | | | | | | | |
| | Tipo de fijación | Conexión eléctrica | Salida | . 0 | N° art. | Tipo | | | | |
| | | Sentido de la salida de la conexión | conmutada | cable [m] | | | | | | |
| Contacto norm | almente abierto | | | | | | | | | |
| A | Introducción a lo largo de | Cable trifilar, transversal | PNP | 2,5 | 547862 | SMT-10G-PS-24V-E-2,5Q-0E | | | | |
| | la ranura | Conector tipo clavija M8x1 de 3 contactos, transversal | | 0,3 | 547863 | SMT-10G-PS-24V-E-0,3Q-M8D | | | | |

| Detector de po | Detector de posición para tamaños 40 50 | | | | | | | | | |
|----------------|---|-------------------------------------|-----------|--------------|---------|--------------------------|--|--|--|--|
| Referencias: D | Referencias: Detector de posición para ranura en T, magnetorresistivo | | | | Hojas d | | | | | |
| | Tipo de fijación | Conexión eléctrica | Salida | Longitud del | N° art. | Tipo | | | | |
| | | Sentido de la salida de la conexión | conmutada | cable | | | | | | |
| | | | | [m] | | | | | | |
| Contacto norm | almente abierto | | | | | | | | | |
| A | Introducción a lo largo de | Cable trifilar, transversal | PNP | 2,5 | 547859 | SMT-8G-PS-24V-E-2,5Q-0E | | | | |
| 🛱 | la ranura | Conector tipo clavija M8x1 | | 0,3 | 547860 | SMT-8G-PS-24V-E-0,3Q-M8D | | | | |
| | | de 3 contactos, transversal | | | | | | | | |
| | | | | | | | | | | |

| Detector de po | Detector de posición para tamaños 40 | | | | | | | | | |
|--|---|--|-------------------------|------------------------------|---------|---------------------|--|--|--|--|
| Referencias: Transmisor de posiciones para ranura en T Hojas de datos → Internet: sm | | | | | | | | | | |
| | Tipo de fijación | Conexión eléctrica Sentido de la salida de la conexión | Salida analógica [V] | Longitud del cable [m] | N° art. | Тіро | | | | |
| | Montaje en la ranura desde la parte superior | Conector tipo clavija M8x1 de 3 contactos, longitudinal | 0 10 | 0,3 | 553744 | SMAT-8M-U-E-0,3-M8D | | | | |



Importante

Funcionamiento:

El transmisor de posiciones detecta de manera continua la posición del émbolo. Dispone de una salida analógica con una señal de salida proporcional a la posición del émbolo.

Pinzas radiales HGRT FESTO

Accesorios

| Referencias: D | etectores de posiciones ind | uctivo, para elemento de sujeción de senso | ores DASI | | Hojas de datos → Internet: sien | | | | | |
|----------------|-----------------------------|--|-----------------------|---------|---------------------------------|--|--|--|--|--|
| | Rosca | Contacto | Conexión | N° art. | Tipo | | | | | |
| | Para DASI-B10-25-S8 | | | | | | | | | |
| | M8 | Contacto normalmente abierto | Cable de 2,5 m | 150386 | SIEN-M8B-PS-K-L | | | | | |
| | | | Conector tipo clavija | 150387 | SIEN-M8B-PS-S-L | | | | | |
| | Para DASI-B10-40-S12 | | | | | | | | | |
| | M12 | Contacto normalmente abierto | Cable de 2,5 m | 150402 | SIEN-M12B-PS-K-L | | | | | |
| | | | Conector tipo clavija | 150403 | SIEN-M12B-PS-S-L | | | | | |

| Referencias: 0 | ables | | | Hojas de datos → Internet: nebu | |
|----------------|---|---------------------------------------|------------------------------|---------------------------------|---------------------|
| | Conexión eléctrica en el lado izquierdo | Conexión eléctrica en el lado derecho | Longitud del cable [m] | N° art. | Tipo |
| | Conector tipo zócalo M8x1, | Cable trifilar, extremo abierto | 2,5 | 541333 | NEBU-M8G3-K-2.5-LE3 |
| | 3 contactos | | 5 | 541334 | NEBU-M8G3-K-5-LE3 |
| | Conector acodado tipo zócalo M8x1, | Cable trifilar, extremo abierto | 2,5 | 541338 | NEBU-M8W3-K-2.5-LE3 |
| | 3 contactos | | 5 | 541341 | NEBU-M8W3-K-5-LE3 |